「みらい」のMR00-K05次航海で採取した海底コアの 第四紀後期テフラ層序

山本 浩文*1 青木かおり*2

「みらい」のMR00-K05航海(2000年7月)において、本州東方沖のPC-01(北緯30度東経147度30分、水深5,911m)、PC-02(北緯40度東経146度、水深5,177m)で2本のピストンコアを採取した。日本海溝より東側の採泥点では炭酸塩補償深度より深い水深6000m海域なので、炭酸カルシウムを含む有孔虫などの微化石は含まれない。このため炭素同位対比を用いた年代測定はできない。これらに含まれる火山灰(テフラ)を明らかにすることにより、採泥試料の年代を推定することができる。これらのコアに介在しているテフラについて、火山ガラスの主成分分析を行った。その結果、PC-01には九州起源の広域テフラ(Aso-4、Ata-Th)が、PC-02には東北の十和田カルデラから供給されたテフラ(To-H、To-Of)と北海道起源の広域テフラ(Spfa-1、Kc-Sr)、及び九州起源のAso-4が分布していることがわかった。

キーワード: 北西太平洋, ピストンコア, 第4紀後期, テフラ層序

Late Quaternary tephrostratigraphy in piston cores collected during "Mirai" MR00–K05 cruise

Hirofumi YAMAMOTO*3 Kaori AOKI*4

Two piston cores were collected at the sea area in the east of Honshu during the MR00–K05 cruise. These core contains many tephras and each tephra were characterized by mineral composition and the major elements compositions of volcanic glass shards. It indicated following: PC-01 is widely two tephra layers, Aso-4 and Ata-Th. PC-02 composed of To-H, To-Of, Spfa-1,Kc-Sr and Aso-4 tephras.

Keywords: The Northwest Pacific Ocean, piston core, tephra

^{*1} 海洋観測研究部

^{*2} 科学技術振興事業団 重点研究支援協力員(独立行政法人 産業技術総合研究所 深部地質環境研究センター)

^{*3} Ocean observation and Research Department

^{* 4} Japan Science and Technology Corportaion

1. 目的

本州東方沖のPC-01とPC-02の2本の柱状試料に介在する多くの火山灰層(テフラ層)について、EPMA(電子プローブマイクロアナライザー)を用いて火山ガラスの主元素組成を分析し、各テフラ層の特徴づけを行い、既知のテフラと対比されるテフラを見出して年代指標としての情報を得ることを目的とする。

2. 試料および分析方法

2.1. テフラ層の岩石学的記載と火山ガラスの主元素組成分析 テフラ層は2本のコアともに産出する。肉眼での岩層記載から PC-01コアには19枚, PC-02コアには16枚のテフラを確認した。 介在する全てのテフラについて,火山ガラスの形態や色, 構成鉱物を双眼実体顕微鏡下で観察し、表1にまとめた。 テフラの試料番号は図1のコア柱状図の右側に記した番号 と、表1、2のTephra No.を対応させてある。以下テフラの記 載は (PC01, 02) – (Tephra No.)とする。火山ガラスの主元素 組成分析は、EPMA (JEOL社製 JXA-8900R)を使用して波 長分散法 (WDS) で定量分析した。測定条件は、青木・新井 (2000) が実施したものと同一条件下である。電子ビーム径 10 μm, 加速電圧15 kV, 電流10 nAとした。

PC01-No.7, 11, 15とPC02-No.4はスコリア質火山灰で, EPMAによるガラスの主元素組成分析はできなかった。PC02-No.13は実体顕微鏡下での観察の結果,火山性砕屑物が極めて少なくIRD(氷河運搬砕屑物)の可能性が高いと考えられる。

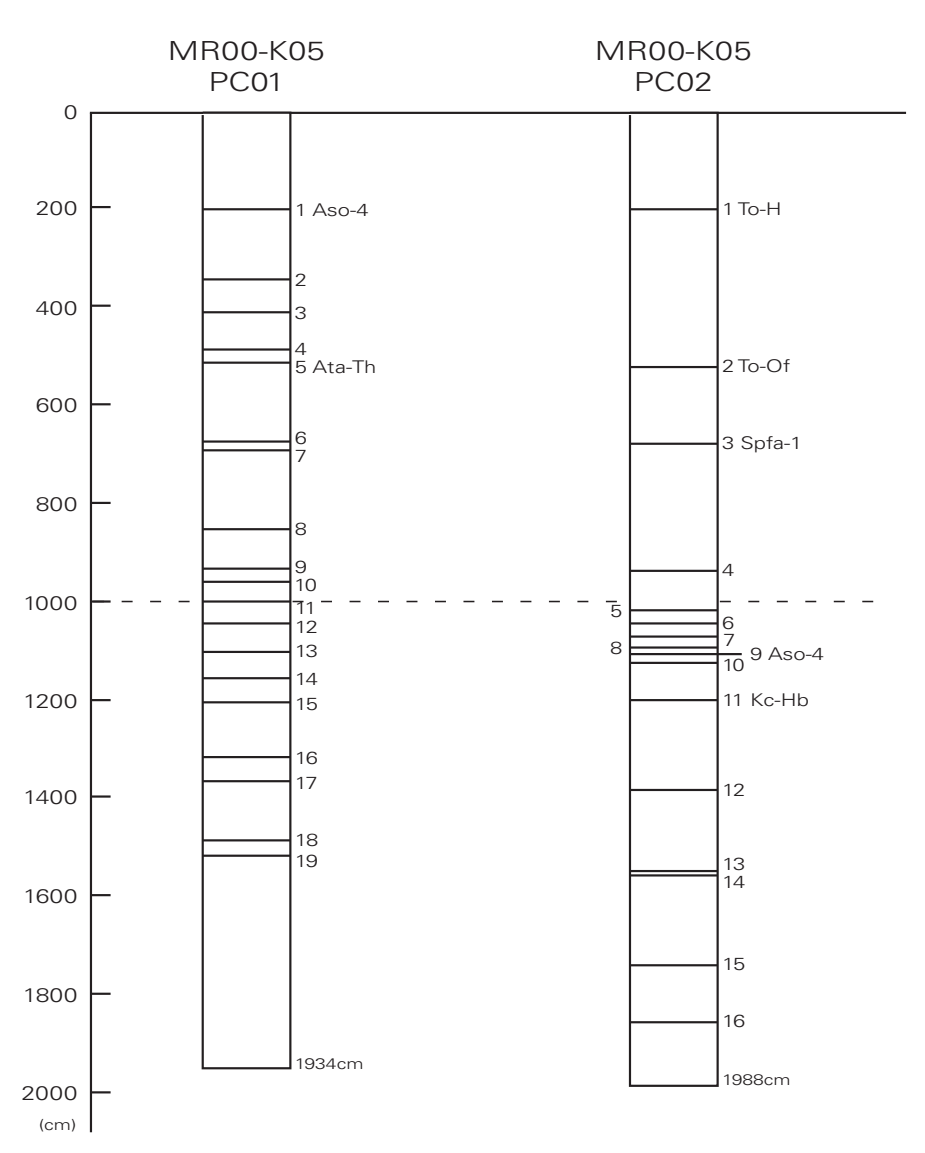


図1 MR00-K05, PC01及びPC02コアのテフラ層序

テフラの名称;To-H:十和田八戸テフラ, To-Of: 十和田大不動テフラ, Spfa-1: 支笏第1テフラ, Aso-4: 阿蘇4テフラ, Kc-Hb: クッチャロ羽幌テフラ, Ata-Th: 阿多鳥浜

Fig. 1 Tephrostratigraphy of cores MR00-K05, PC01 and PC02

Tephra name; To-H:Towada-Hachinohe tephra, To-Of: Towada-Ofudo tephra, Kc-Sr: Kutcharo-Shoro tephra, Spfa-1: Shikotsu Daiichi tephra, Aso-4:Aso-4 tephra, Kc-Hb: Kutcharo-Haboro tephra, Ata-Th: Ata-Torihama tephra

表1 MR00-K05, PC01コアに介在するテフラの岩石学的特徴

Tephra No.は図1のテフラ層の番号に対応する。Mineral; opx:斜方輝石, cpx:普通輝石, ho:普通角閃石, ho:緑色角閃石, bi:黒雲母, qt:石英。Glass type (火山ガラスの形態); bw:バブルウォール型, pm:軽石型 (スポンジ状), fb:軽石型 (繊維状), *:色付きガラス

 $\label{thm:core_model} \mbox{Table 1} \quad \mbox{Petrographic description of tephra layers in the core MR00-K05, PC01.}$

Tephra No.'s correspond to descriptions in Fig.1. Mineral; opx: orthpyroxene, cpx: clinopyroxene, ho: hornblende, gr-ho:green hornblende, bi: biotite, qt: quartz. Glass type mean Morphology of volcanic glass shards; bw: bubble-wall type, pm: pumice type, fb: fiber type, *: colored glass.

(5) Glass shard type	(4) Size	(3) Heavy mineral	h) Dept		(1) Tephra
	Max (μ m)	assemblage		(cm)		No.
bw, bw*	250	ho, opx	222.5	-	215.5	1
bw, pm	125	opx	362.5	-	360.5	2
pm, fb, bw (pm*, bw*, sc)	125	орх	417.5	-	414.5	3
bw, pm,(bw*)	250	opx, cpx	490	-	483	4
bw, (fb, pm)	250	opx, ho, bi	543	-	535	5
pm, bw	125	bi, opx, ho	688	-	682	6
pm, bw	-125	(opx)		_	704	7
pm*, pm, (sc)	-125	орх	829	_	827	8
bw, pm, (bw*)	250	opx, gr-ho	925.5	_	924.5	9
pm, bw	-250	(opx, ho)	964.5	-	960.5	10
pm*, pm, (sc)	250	opx, ho	1004.5	_	1002.5	11
bw, pm	250	opx	1058.5	_	1057.5	12
bw, pm	250	opx, ho	1132	_	1124	13
pm, bw	125	bi, ho, opx	1186.5	_	1185.5	14
pm, sc, bw	-125	opx, (cpx)		_	1209.5	15
pm, fb, bw(Y)	250	орх, срх	1343.5	_	1337.5	16
pm, fb, bw(Y)	125	(opx)	1397	_	1386.5	17
pm, fb, (bw(Y)*)	-250	(opx, ho)	1510.5	_	1498.5	18
bw, pm	125	(opx)	1542	_	1533.5	19

表2 MR00-K05, PC02コアに介在するテフラの岩石学的特徴

Table 2 Petrographic description of tephra layers in the core MR00–K05, PC02

(5) Glass shard type	(4) Size	(3) Heavy mineral	า	2) Depth	(2	(1) Tephra
	$Max (\mu m)$	assemblage		(cm)		No.
pm, bw(Y)*, bw	2mm	opx, cpx, ho	223.0	_	219.0	1
pm, fb, bw, (bw(Y)*, pm*)	250	(opx)	546.0	_	535.0	2
pm, fb, bw	250	(opx, cpx, ho)	674.5	_	647.5	3
(bw) very rare and small	63	_			968.0	4
pm, (bw)	125	opx, ho	1020.5	-	1012.5	5
pm, fb, (bw*)	250	opx, ho, mt	1064.5	-	1057.5	6
pm, fb	-250	opx, mt	1103.5	-	1100.5	7
pm, fb, (fb*, bw(Y)*)	500-1000	орх	1135.5	-	1132.5	8
bw, bw*, pm	250	ho, opx	1154.5	-	1148.5	9
pm, fb	250	opx,	1172.5	-	1168.5	10
bw, pm, (bw*)	250	opx, cpx	1238.0	-	1237.0	11
pm, pm*, bw, pumice	3mm	opx, cpx, mt			1406.0	12
-	1mm	_			1583.0	13
pm, bw, (bw(Y)*)	1000	opx, cpx	1595.5	-	1594.5	14
pm, bw; pumice	250; 2cm	opx, cpx, gr-ho	1752.5	-	1747.5	15
pm, pm*, sc	125	opx, (cpx)	1868.0	_	1867.0	16

3. PC-01,とPC-02の柱状試料に介在する指標テフラ 以下,火山ガラスの主元素組成をもとに,各コアで同定さ れたテフラについて記述する。

3.1. PC-01

MR00-K05, PC-01コアでは九州起源の広域テフラAso-4 と阿多鳥浜テフラ(Ata-Th)の2枚を同定した。

Aso-4=PC01-No.1(深度215.5~222.5cm)

ガラス質火山灰で、火山ガラスの形態はバブルウォール型が卓越し、淡褐色に色付いたガラスもわずかに観察される。重鉱物は角閃石と斜方輝石を観察した(表1)。火山ガラスの主成分はデイサイト質で、アルカリ含量 $(\mathbf{K_2O}+\mathbf{Na_2O})$ と $\mathbf{Al_2O_3}$ が高い(表3)。

このような特徴は阿蘇カルデラ起源のテフラに共通してみられる。阿蘇カルデラ起源の広域テフラとしてAso-3とAso-1が知られているが、火山ガラスの主元素組成はともにAso-4より苦鉄質で、それぞれのテフラを判別することが可能である(白井ほか、1997)。故に、火山ガラスの主成分の特徴からAso-4に対比される。

Ata-Th (阿多鳥浜テフラ)=PC01-No.5 (深度535~543cm)

ガラス質火山灰で、火山ガラスの形態はバブルウォール型が卓越するが、繊維状、軽石状に発砲したガラスもわずかに観察される。重鉱物は極めて少なく、斜方輝石と角閃石のほかにわずかに黒雲母が見られる。火山ガラスの主元素組成は流紋岩質で(表3)、苦鉄質成分が少ない。

このような特徴は既知のテフラの中では九州起源の広域 テフラ姶良Tnテフラ(AT)と阿多鳥浜テフラ(Ata-Th)に見られる。本テフラ層はAso-4の下位であることからAta-Thに対 比される。

3.2. PC-02

MR00-K05, PC-02コアでは九州起源の広域テフラである Aso-4と北海道起源の広域テフラである支笏第1テフラ (Spfa-1)と屈斜路羽幌テフラ(Kc-Hb)を同定した。また, 東北地方の十和田カルデラを給源とするテフラを2枚同定した。

A. 広域テフラ

Spfa-1 (支笏第1テフラ) = PC02-No.4 (深度647.5-674.5cm)

火山ガラスの形態は全体的に軽石型がバブルウォール型よりも卓越する。重鉱物は斜方輝石、普通輝石、角閃石が含まれている(表2)。火山ガラスの化学組成は流紋岩質で苦鉄質な成分が極めて乏しく、 TiO_2 が $0.13\sim0.16\%$, MgOが $0.13\sim0.15\%$ である(表4)。

本テフラ層は火山ガラスの主元素組成の特徴から,北海道 起源の広域テフラである支笏第1テフラ(Spfa-1)に対比される。 Aso-4(阿蘇4)=PC02-No.9(深度1148.5-1154.5cm)

ガラス質火山灰で、火山ガラスの形態はバブルウォール型が卓越し、淡褐色に色付いたガラスもわずかに観察される。重鉱物は角閃石と斜方輝石が観察される(表2)。火山ガラスの主成分はデイサイト質で、アルカリ含量 (K_2O+Na_2O) と ALO、が高い(表4)。

PC01-No.1と同様に、火山ガラスの主元素組成の特徴から本テフラ層はAso-4に対比される。

Kc-Hb(屈斜路羽幌テフラ)=PC02-No.11(1237-1238cm)

ガラス質火山灰で、火山ガラスの形態はバブルウォール型と軽石型(スポンジ状)からなり、淡褐色に色付いたガラスもわずかに観察される。重鉱物は斜方輝石と普通輝石が観察される(表2)。火山ガラスの主成分は流紋岩質である。(表3)。

火山ガラスの主元素組成の特徴から屈斜路カルデラ起源の火砕流に対比される可能性が高い。Aso-4に対比されるPC02-No.9の下位であること、給源から遠いことから広域テフラとして認識されている屈斜路羽幌テフラに対比されると考えられる。

B. 十和田カルデラ起源テフラ

To-H(十和田八戸テフラ)=PC02-No.1(深度219-223cm)

2mm程度の軽石粒が混じる粗粒火山灰である。火山ガラスの形態は軽石型とバブルウォール型からなり、淡褐色に色付いた火山ガラスも多い。重鉱物は斜方輝石、普通輝石、角閃石が観察される(表2)。火山ガラスの主元素組成は、デイサイト質でTiO。の値が高くK。Oが低いという特徴をもつ(表4)。

火山ガラスの特徴から、十和田カルデラ起源のテフラと考えられる。また、Spfa-1より上位に介在することから、対比されるテフラの候補はTo-a(十和田aテフラ)、To-H(十和田八戸テフラ)、To-Of(十和田大不動テフラ)の3枚のテフラであるが、本テフラ層は重鉱物に角閃石が観察されることから、角閃石を含むTo-Hに対比される。

To-Of(十和田大不動テフラ)=*PC02-No.2*(深度*535-546cm*)

細粒ガラス質火山灰である。火山ガラスの形態は軽石型(スポンジ状・繊維状)とバブルウォール型からなり、淡褐色に色付いて見えるガラスも観察される。重鉱物は斜方輝石と普通輝石が見られる(表2)。火山ガラスの主元素組成は、上記のPC02-No.1と極めてよく似る(表4)。

本テフラは上記のテフラと同様に十和田カルデラ起源の テフラと考えられる。角閃石を含む十和田八戸テフラが上 位に存在する(PC02-No.1)ことから、To-Ofに対比される。

表3 MR00-K05, PC01コアに介在するテフラの火山ガラスの主元素組成 Table 3 Glass shard major element composition of tephra in the core MR00-K05, PC01

No.	SiO ₂	TiO ₂	Al_2O_3	FeO*	MnO	MgO	CaO	Na ₂ O	K ₂ O	n	Total**
1	72.00	0.43	15.01	1.52	0.10	0.37	1.16	4.38	5.03	20	99.42
	0.62	0.05	0.32	0.10	0.04	0.07	0.21	0.14	0.19		1.23
2	78.56	0.24	12.55	1.40	0.07	0.32	2.04	3.46	1.34	18	95.52
	0.65	0.04	0.20	0.13	0.05	0.05	0.08	0.73	0.06		1.76
3(1)	72.46	0.57	14.30	2.61	0.11	0.72	2.59	4.04	2.59	12	97.95
	0.62	0.05	0.21	0.17	0.04	0.08	0.20	0.21	0.11		1.34
3(2)	78.05	0.19	12.55	1.15	0.09	0.21	1.41	2.99	3.36	3	93.22
	0.08	0.04	0.52	0.15	0.08	0.08	0.26	0.15	0.91		0.48
4	77.16	0.31	12.78	1.35	0.06	0.29	1.43	3.81	2.80	20	97.25
	0.81	0.05	0.36	0.17	0.03	0.06	0.23	0.18	0.22		1.95
5	78.30	0.14	12.63	0.91	0.06	0.17	1.19	3.41	3.20	20	95.68
	0.39	0.03	0.20	0.07	0.04	0.02	0.04	0.12	0.16		0.96
6	77.64	0.11	12.26	0.87	0.04	0.07	0.79	2.79	5.42	16	96.48
	0.24	0.04	0.13	0.09	0.04	0.02	0.04	0.09	0.18		0.93
8	70.82	0.70	14.17	4.08	0.17	1.19	3.73	3.99	1.17	17	97.98
	1.96	0.09	1.39	1.08	0.07	1.16	0.85	0.32	0.19		1.63
9	78.01	0.22	12.71	1.92	0.10	0.20	1.37	4.05	1.42	20	95.12
	0.32	0.04	0.18	0.09	0.03	0.02	0.08	0.20	0.08		1.06
10	78.74	0.19	12.30	0.88	0.05	0.19	1.07	3.42	3.16	20	95.76
	0.21	0.04	0.09	0.05	0.03	0.03	0.04	0.10	0.13		0.69
12	78.59	0.18	12.48	0.89	0.07	0.20	1.18	3.39	3.02	20	95.59
	0.21	0.03	0.10	0.06	0.04	0.02	0.05	0.13	0.11		0.85
13	78.58	0.20	12.19	0.95	0.05	0.17	1.06	3.43	3.38	20	96.13
	0.26	0.04	0.14	80.0	0.03	0.02	0.05	0.09	0.16		0.64
14	76.26	0.22	13.28	1.18	0.10	0.27	1.15	3.58	3.97	20	95.21
	2.83	0.16	0.64	1.45	0.05	0.38	1.00	0.13	0.79		1.77
16	78.25	0.28	12.23	1.48	0.05	0.29	1.64	3.33	2.45	18	95.19
	0.74	0.04	0.27	0.16	0.04	0.04	0.13	0.62	0.14		1.53
17	78.78	0.21	12.14	1.30	0.05	0.21	1.26	3.67	2.39	18	95.29
	0.35	0.04	0.08	0.15	0.04	0.04	0.08	0.16	0.22		0.98
18	73.57	0.39	14.19	1.54	0.06	0.36	1.41	3.62	4.86	20	96.01
	0.39	0.05	0.19	0.10	0.04	0.04	0.10	0.09	0.14		0.84
19	78.49	0.15	12.49	0.72	0.07	0.16	0.86	3.43	3.64	20	96.01
	0.22	0.04	0.14	0.12	0.04	0.04	0.16	0.23	0.73		1.08

表4 MR00-K05, PC02コアに介在するテフラの火山ガラスの主元素組成 Table 4 Glass shard major element composition of tephra in the core MR00-K05, PC02

No.	SiO ₂	TiO ₂	Al ₂ O ₃	FeO*	MnO	MgO	CaO	Na ₂ O	K ₂ O	n	Total**
1	77.52	0.35	12.86	1.70	0.09	0.40	1.99	3.84	1.26	19	98.10
	1.4	0.1	0.4	0.5	0.0	0.1	0.3	0.2	0.1		1.3
2(1) 535-540cm	76.67	0.36	13.19	1.93	0.10	0.47	2.27	3.86	1.15	17	97.75
555-540CIII	1.1	0.1	0.4	0.3	0.0	0.1	0.3	0.1	0.1		1.4
2(2) 546cm	76.79	0.36	13.07	1.88	0.11	0.45	2.19	3.87	1.27	19	98.24
	1.1	0.1	0.4	0.3	0.0	0.1	0.3	0.3	0.4		1.8
3	78.07	0.15	12.49	1.46	0.06	0.15	1.43	3.67	2.54	20	98.07
	0.2	0.0	0.1	0.1	0.0	0.0	0.0	0.1	0.1		0.3
5	75.45	0.44	13.03	2.38	0.10	0.51	2.22	3.59	2.28	16	98.54
	2.1	0.2	0.8	0.7	0.0	0.2	0.5	0.4	0.7		1.9
6	76.99	0.32	12.54	2.44	0.09	0.35	2.28	3.53	1.46	20	99.32
	0.3	0.0	0.1	0.2	0.0	0.0	0.1	0.1	0.1		0.9
7	76.72	0.31	12.82	2.40	0.09	0.35	2.38	3.61	1.32	19	99.94
	0.1	0.0	0.1	0.1	0.0	0.0	0.1	0.1	0.1		1.2
8	77.50	0.29	12.32	2.34	0.07	0.32	2.28	3.57	1.32	20	98.36
	0.4	0.1	0.2	0.2	0.0	0.0	0.2	0.1	0.4		1.6
9	71.73	0.44	15.11	1.71	0.11	0.43	1.34	4.33	4.80	20	98.36
	1.9	0.1	0.5	0.9	0.0	0.3	0.7	0.2	0.3		1.5
10	78.81	0.17	12.39	1.32	0.07	0.16	1.30	4.15	1.61	20	97.06
	0.2	0.0	0.2	0.1	0.0	0.0	0.0	0.1	0.1		1.7
11	78.23	0.37	12.24	1.56	0.10	0.29	1.44	3.94	1.82	20	96.55
	0.6	0.1	0.1	0.2	0.0	0.1	0.2	0.2	0.1		0.9
12	73.75	0.60	13.34	3.21	0.10	0.70	2.93	3.79	1.56	9	96.99
	2.0	0.1	0.5	0.7	0.1	0.3	0.5	0.2	0.2		3.8
14	77.49	0.38	12.17	1.90	0.07	0.30	1.62	3.60	2.46	19	96.84
	0.3	0.1	0.1	0.1	0.0	0.0	0.0	0.2	0.1		1.6
15	72.87	0.56	13.71	3.36	0.10	0.82	3.33	3.76	1.50	15	98.14
	5.3	0.3	1.2	2.1	0.1	0.6	1.5	0.4	0.9		2.4
16	72.87	0.51	14.03	3.44	0.12	0.63	2.92	4.12	1.36	18	97.35
	3.4	0.2	1.1	1.6	0.0	0.4	1.1	0.3	0.2		1.5

3.3. その他のテフラの対比

上記で対比されたテフラ以外のいくつかのテフラについて, 火山ガラスの主成分から給源火山を推定することができる。

PC01-No.6は黒雲母に富み、斜方輝石と角閃石が観察される。火山ガラスの主元素組成のうち K_2 Oは5.42 wt%と多く、苦鉄質元素の割合は極めて少ない。このような特徴をもつテフラは藪1(Yb-1),根古屋(Ng-1),TE-5(いずれも酸素同位体比層序stage7-9期)があり、本テフラはいずれかに対比される可能性がある。

PC02-No.5, No.6, No.7の火山ガラスはいずれも良く似た主元素組成を持つ。火山ガラスは発泡の良いパミス型で、本コアの東方で採取されたMR99-K04, PC-2コアに介在するNo.6, No.7, MR99-K04, PC-3コアのNo.3と酷似する(青木ほか, 2000)。これらのテフラはいずれも北海道のクッタラカルデラ起源のテフラと考えられる。クッタラカルデラは、Aso-4以降Spfa-1が供給されるまでの間にKt-6~1までの大規模噴火を繰り返したことが北海道の陸上調査の結果から知られている。今回の分析の結果から、北緯40度、東経146度付近の親潮海域では最低3枚のクッタラ起源テフラが分布しており、これまでに酷似するテフラが見つかった地点を考慮すると北緯37°から北海道東方沖にかけて最低1枚は広域に対比が可能なテフラがあると考えられる。

3.4. Similarity coefficients

対比の可能性があるテフラについて、その類似度を簡便に示すために、火山ガラスの化学組成について、各成分の比を求めて平均値Similarity coefficients (SC; Borchardt *et al.*,1972)を計算するという方法がある。

$$d(A.B) = \frac{\sum_{i=1}^{n} R_i}{n}$$

d(A.B) = d(B.A) which is the similarity coefficient for comparison between sample A and sample B and where

i = element number

n = number of elements,

 $R_i = X_i A / X_i B$ if $X_i > X_i A$; otherwise $X_i B / X_i A$,

 X_iA = concentration of element_i in sample A.

 X_iB = concentration of element_i in sample B.

表5は各テフラの模式試料の分析値である。PC01, PC02 に介在するテフラと模式地テフラとの間でSCを計算した結果が表6である。SCの値は化学組成が似ているテフラであるほど1に近づく。

PC01-No.1とPC02-No.9と模式試料のAso-4(山梨県上野原町)の間では0.93と0.89となる。Aso-4テフラは苦鉄質成分と珪長質成分の割合に元来ばらつきがあるため、平均値の比であるSCの値は試料によって0.9前後に計算されることがある。ゆえに、同定に問題はない。

PC01-No.5と阿多鳥浜(Ata-Th)との間のSCは0.96と高い

値になった。

PC01-No.6と藪1 (Yb-1), 根古屋 (Ng-1), TE-5中の火山 ガラスの主元素組成についてSCを計算すると、Yb-1との間で0.95、TE-5との間で0.92となった。本テフラはYb-1か TE-5のいずれかに対比される可能性がある。

PC02-No.1とPC02-No.2(1), No.2(2)は十和田八戸と十和田大不動テフラの火山ガラスの主元素組成に似るが、この2枚のテフラは互いによく似ているため、それぞれのSCの値はすべて0.88-0.96となった。このことから、両テフラが十和田カルデラ起源であることが確認できる。この2枚のテフラを識別する決定的な要素は、先に説明したとおり、重鉱物の角閃石の有無である。

PC02-No.3と支笏第1テフラ(Spfa-1, Spfl)との間のSCは 0.94及び0.95, PC02-No.11と屈斜路羽幌テフラ(Kc-Hb)と の間のSCは0.92と高い値となった。同定されたテフラ層序については、図1の柱状図にまとめた。

4. 指標テフラの年代

指標テフラのうち¹⁴C年代法で測定された十和田八戸, 十和田大不動,支笏第1テフラの噴出年代についての情報 をまとめると表7のようになる(青木・新井,2000)。また, 青木・新井(2000)で三陸沖海底コアKH94-3,LM-8の酸 素同位体比層序から推定した各テフラの噴出年代は十和 田八戸テフラが14.9-15.3ka,十和田大不動テフラが 29-29.6ka,支笏第1テフラが39.5-40.1kaとなっている。

Aso-4の噴出年代はこれまでにフィッショントラック法, K-Ar法,酸素同位体比層序から推定する方法などから求められ,84-89kaとなっている(Machida,1999)。

屈斜路羽幌テフラの噴出年代はフィッショントラック法と, 海成段丘の編年による層序から100-130kaと見積もられている(Machida, 1999)。

5. 今後の課題

- ・本稿では火山ガラスの主元素組成と、テフラを構成するの 鉱物の種類に基づいてテフラを同定した。しかしながら、 確実な対比のためにはさらに多面的な検討を行う必要が ある。今後、重鉱物の屈折率測定が必要不可欠である。
- ・北海道のクッタラカルデラ起源のテフラは、酸素同位体 比区分stage 4~3にかけての親潮海域と北海道の陸上 を結ぶ指標層として利用可能性が高まった。今後、クッ タラ起源のテフラのうちどれにあたるかを確定する必要 がある。

引用文献

青木かおり・新井 房夫(2000)三陸沖海底コアKH94-3, LM-8の後期更新世テフラ層序。第四紀研究, 39:107-120.

Borchardt, G. A., Aruscavage, P. J. and Millard, H. T. Jr. (1972) Correlation of the Bishop Ash, a Pleistocene marker bed, using instrumental neutron activation analysis. Journal of Sedimentary Petrology, 42:301-306.

Machida, H. (1999) Quaternary widespread tephra catalog in and around Japan:Recent progress.第四紀研究, 38, 194-201. 町田洋・新井房夫 (1992) 火山灰アトラス [日本列島とその周辺]。276p, 東京大学出版会

山縣耕太郎 (1994) 支笏及びクッタラ火山のテフロクロノロジー。地学雑誌, 103: 268-285.

(原稿受理:2002年7月29日)

表5a-5c 模式地試料の火山ガラスの主元素組成(東北,北海道および遠方の火山)

Table 5a Glass shard major element composition of tephra erupted from volcanos in the Tohoku district

Tephra name	Sampling site	SiO ₂	TiO ₂	Al ₂ O ₃	FeO*	MnO	MgO	CaO	Na ₂ O	K ₂ O n	Total**
To–H	Shingo Village Hosono	77.68	0.40	12.24	1.61	0.11	0.54	2.22	4.08	1.12 16	97.26
(pfa, I)		0.82	0.06	0.23	0.26	0.05	0.11	0.23	0.13	0.06	2.20
(1)		78.09	0.38	12.17	1.48	0.09	0.49	2.11	4.05	1.13 12	97.20
		0.32	0.05	0.22	0.11	0.04	0.05	0.10	0.12	0.07	2.26
(2)		76.45	0.46	12.45	1.99	0.15	0.69	2.55	4.17	1.09 4	97.46
		0.55	0.03	0.09	0.13	0.08	0.10	0.18	0.15	0.05	2.33
To-H	Yokosawa	77.61	0.33	12.89	1.56	0.09	0.33	1.84	3.96	1.38 34	97.39
(pfl, u)		0.73	0.05	0.32	0.20	0.03	0.06	0.16	0.14	0.07	1.40
То-Н	Yokosawa	77.32	0.34	12.96	1.67	0.09	0.36	1.89	4.00	1.37 30	97.50
(pfl, I)		1.18	0.07	0.47	0.32	0.04	0.10	0.28	0.11	0.07	1.62
To-Of (BP1)	Ninokura Dam	77.60	0.35	12.58	1.96	0.08	0.37	2.03	3.86	1.16 13	97.31
(pfa)		1.06	0.04	0.54	0.19	0.05	0.09	0.27	0.12	0.05	1.62
To-Of	Ninokura Dam	77.82	0.36	12.45	1.88	0.08	0.33	1.87	3.97	1.25 21	98.25
(pfl)		1.34	0.09	0.40	0.46	0.04	0.09	0.30	0.13	0.06	1.21

Table 5b Glass shard major element composition of tephra erupted from volcanos in the Hokkaido district

Tephra name	Sampling site	SiO ₂	TiO ₂	Al ₂ O ₃	FeO*	MnO	MgO	CaO	Na ₂ O	K₂O n	**Total
Spfl	Tomakomai	78.56	0.15	12.45	1.37	0.05	0.13	1.23	3.41	2.64 21	98.10
		0.5	0.0	0.3	0.1	0.0	0.0	0.1	0.1	0.1	2.0
Spfa-1	Kamisarabetsu	77.99 0.5	0.15 0.0	12.53 0.2	1.47 0.1	0.08	0.13 0.0	1.30 0.0	3.78 0.2	2.58 23 0.1	93.03 1.4

 $Table \ 5c \ Glass \ shard \ major \ element \ composition \ of \ tephra \ erupted \ from \ distant \ volcanoes$

Tephra name	Sampling site	SiO ₂	TiO ₂	Al ₂ O ₃	FeO*	MnO	MgO	CaO	Na ₂ O	K ₂ O n	**Total
AT	Tateyama-cyo	78.23	0.13	12.43	1.22	0.03	0.12	1.00	3.30	3.54 47	95.66
		0.5	0.0	0.3	0.1	0.0	0.0	0.0	0.1	0.1	2.0
Aso-4	enohara-cyo	73.23	0.40	14.57	1.56	0.09	0.30	1.03	4.23	4.58 26	96.91
		0.9	0.1	0.5	0.2	0.0	0.1	0.2	0.2	0.3	1.9
(1)		73.76	0.38	14.30	1.48	0.09	0.26	0.91	4.19	4.64 18	97.28
		0.4	0.0	0.2	0.1	0.0	0.0	0.0	0.1	0.1	1.4
(2)		72.64	0.42	14.92	1.75	0.09	0.37	1.27	4.27	4.27 8	96.8
		8.0	0.1	0.4	0.1	0.0	0.0	0.1	0.2	0.1	2.6

表6 模式テフラと対比されるテフラの間で計算されたSimilarity coefficientsの値 Table 6 Similarity coefficient between type tephra and its correlatives

			Tohok	u (Towada d	caldera)			Hokkaido)		Kyushu			Cyubu	
		To-H (pfa)	To-H(pfl, u)	To-H(pfl, I	To-Of (BP1)	To-Of	Spfl	Spfa-1	Kc–Hb	AT	Aso-4	Ata-Th	Yb-1	Ng-1	TE-5
	1	0.76	0.80	0.80	0.76	0.77	0.69	0.72	0.80	0.65	0.93	0.68	0.59	0.57	0.59
PC01	5	0.61	0.68	0.66	0.65	0.67	0.90	0.86	0.74	0.84	0.70	0.96	0.74	0.73	0.73
	6	0.51	0.55	0.54	0.53	0.54	0.73	0.69	0.58	0.79	0.62	0.78	0.95	0.88	0.92
	1	0.89	0.93	0.96	0.96	0.94	0.68	0.73	0.81	0.60	0.78	0.65	0.52	0.50	0.52
	2(1)	0.93	0.88	0.90	0.93	0.90	0.64	0.68	0.78	0.57	0.75	0.60	0.49	0.48	0.49
PC02	2(2)	0.92	0.89	0.91	0.92	0.91	0.64	0.69	0.81	0.57	0.75	0.61	0.49	0.48	0.49
FC02	3	0.68	0.74	0.73	0.71	0.73	0.94	0.95	0.80	0.82	0.71	0.88	0.67	0.67	0.66
	9	0.80	0.78	0.79	0.76	0.76	0.66	0.70	0.80	0.62	0.89	0.64	0.56	0.54	0.57
	11	0.84	0.91	0.89	0.85	0.88	0.74	0.79	0.92	0.66	0.85	0.69	0.55	0.54	0.55

表7 十和田八戸, 十和田大不動, 支笏第1テフラの14C年代値とその暦年代値(青木・新井, 2000)
Table 7 Eruptive age in calendrical year calibrated froMRadiocarbon age of Towada-Hachinohe,
Towada-Oofudo and Shikotsu Daiichi tephras (Aoki and Arai, 2000)

Tephra	Sample	Source	Radiocarbon Age	Analysis Institute	Calendar Year
Towada-Hachinohe	in,wood	Ooike <i>et al.</i> , 1977	13,770±510	(GaK)	16240±510
	in,wood	Hayakawa, 1985	13,050±320	(GaK)	15340±320
			13,120±260	(GaK)	15430±260
			13,450±320	(GaK)	15840±320
			12,630±320	(GaK)	14820±320
			12,460±520	(GaK)	14610±520
			13,190±300	(GaK)	15520±300
	in,wood	Terada <i>et al.</i> , 1994	$12,660\pm150$	(NUTA)	14860±150
			12,640±150	(NUTA)	14830±150
Towada-Oofudo	in,charcoal	Issiki <i>et al.</i> , 1965	25,700±900	(GaK)	30050±900
	in,charcoal	Ooike, 1978	25,560±1340	(GaK)	29900±1340
	in,wood	Hayakawa, 1985	30,130±2590	(GaK)	34760±2590
Shikotsu-Daiichi	in,charcoal	Sato, 1980	32,970±790	(GaK)	37660±790
	in,wood	Yanagida, 1994	42,000±1800	(1)	45000 [#]
	n.d.	Kato <i>et al.</i> , 1995	35450±1060	(NUTA)	40120±1060
		,	34750±560	(NUTA)	39430±560